

BiVO₄/ZnFe₂O₄同型异质结光阳极的构筑 及其光电催化分解水性能

樊萌萌 文晓江 陶紫阳 赵强 李晋平 刘光*

(太原理工大学, 气体能源高效清洁利用山西省重点实验室, 太原 030024)

摘要: 光生电子-空穴对的复合被认为是限制 BiVO₄材料光电催化转换效率的重要原因之一。基于此,通过简单的水热-煅烧方法构筑了 BiVO₄/ZnFe₂O₄同型异质结光阳极, BiVO₄/ZnFe₂O₄复合光阳极在 1.23 V(vs RHE)下的光电流密度为 3.33 mA·cm⁻², 较纯 BiVO₄提升了 2 倍 (1.20 mA·cm⁻²)。相关的结构及性能测试表明, BiVO₄和 ZnFe₂O₄形成了带隙错开的 n-n 异质结, 使得光生载流子得到有效分离, 更有效地参与水氧化过程, 进而提高了 BiVO₄的光电催化水分解性能。

关键词: BiVO₄; ZnFe₂O₄; 光阳极; 光电水氧化; 异质结

中图分类号: TQ116.2+1 文献标识码: A 文章编号: 1001-4861(2023)01-0023-09

DOI: 10.11862/CJIC.2022.257

Construction and photoelectrochemical water oxidation performance of BiVO₄/ZnFe₂O₄ homotypic heterojunction photoanode

FAN Meng-Meng WEN Xiao-Jiang TAO Zi-Yang ZHAO Qiang LI Jin-Ping LIU Guang*

(Shanxi Key Laboratory of Gas Energy Efficient and Clean Utilization, Taiyuan University of Technology, Taiyuan 030024, China)

Abstract: The combination of photogenerated electron-hole pairs is considered one of the important reasons for limiting the photoelectrocatalytic conversion efficiency of BiVO₄ photoanode. In this work, BiVO₄/ZnFe₂O₄ homotypic heterojunction was constructed by a simple hydrothermal method and calcination process. The obtained BiVO₄/ZnFe₂O₄ photoanode achieved an excellent photocurrent density of 3.33 mA·cm⁻² at 1.23 V (vs RHE), which was 2 times higher than that of pure BiVO₄ (1.20 mA·cm⁻²). Related structure and performance tests showed that BiVO₄ and ZnFe₂O₄ can form a bandgap staggered n-n heterojunction, which enables the photogenerated carriers to be effectively separated and participate in the water oxidation process, thus improving the photoelectrochemical water oxidation activities of BiVO₄ photoanode.

Keywords: BiVO₄; ZnFe₂O₄; photoanode; photoelectrochemical water oxidation; heterojunction

0 引言

光电催化水分解制氢是将太阳能转换为氢能的有效方式,受到人们的广泛关注。目前,用于光电催化的半导体材料包括 TiO₂、 α -Fe₂O₃、WO₃、BiVO₄、Ta₃N₅等^[1-5]。其中,单斜相的 BiVO₄因其良好的催化性能、无毒、较长的载流子寿命、合适的带隙

位置,以及可以吸收 516 nm 以下的可见光等优点,被认为是用于光电催化最有潜力的材料之一。然而,由于纯相的 BiVO₄没有能带弯曲和内置电场,光生载流子在电极/电解质界面迁移动力学缓慢,易复合,不能有效参与水的氧化反应,导致 BiVO₄材料的光电流密度远低于理论值 (7.50 mA·cm⁻²)。为了克服 BiVO₄光阳极的上述缺点并提高其光电催化活

收稿日期: 2022-05-27。收修改稿日期: 2022-10-21。

国家自然科学基金(No.21878204)和山西省重点研发计划项目(国际合作项目 No.201903D421073)资助。

*通信联系人。E-mail: liuguang@tyut.edu.cn

性,常用的策略包括元素掺杂^[6-7]、引入氧空位^[6,8]、负载助催化剂^[9-14]、构筑异质结^[15-21]等。

其中,负载析氧助催化剂可以将光生空穴从BiVO₄的价带上快速转移至催化剂的表面,使其参与水的氧化反应析出氧气,加快析氧动力学,典型的析氧助催化剂有CoP^[9]、FeOOH^[10]、NiOOH^[11]等。此外,与其他半导体材料复合形成半导体异质结也可有效提升BiVO₄的光电催化性能,异质结可以有效地将空穴和电子分离开来,从而抑制光生载流子的快速复合,如BiVO₄/CoO_x^[22]、BiVO₄/WO₃^[18]、BiVO₄/ZnO^[16]等。相关研究指出,形成带隙错开的异质结可以促进光生电子-空穴对的高效分离^[23],如BiVO₄/FeF₂^[24]、BiVO₄/Cu₃Mo₂O₉^[20]。该类异质结在光生电子-空穴对产生后,光生空穴从BiVO₄的价带转移到另一个半导体的价带上,同时光生电子从另一个半导体的导带转移至BiVO₄的导带上,从而实现光生电子-空穴对的有效分离。

ZnFe₂O₄(简称为ZFO)作为典型的n型半导体材料,其带隙约为2.10 eV,可以与BiVO₄形成带隙错开的n-n同型异质结,有望助力BiVO₄光阳极材料实现高效的光电催化水氧化性能。基于此,我们通过水热-煅烧的方法将ZFO成功负载在BiVO₄光阳极的表面,构筑的BiVO₄/ZFO同型异质结光阳极材料在1.23 V(vs RHE)处的光电流密度达到了3.33 mA·cm⁻²,较纯BiVO₄提升了2倍(1.20 mA·cm⁻²)。相关的结构和光电化学测试表明,BiVO₄和ZFO形成了带隙错开的n-n异质结,使得光激发产生的光生空穴从BiVO₄的价带转移至ZFO的价带,光生电子从ZFO的导带转移至BiVO₄的导带,实现了光生电子-空穴对的有效分离,提升了BiVO₄光阳极的光生载流子浓度,从而优化了BiVO₄的光电催化水分解性能。

1 实验部分

1.1 化学试剂

碘化钾(KI, 99.00%)、五水合硝酸铋(Bi(NO₃)₃·5H₂O, 99.00%)、氢氧化钾(KOH, 85.00%)、无水乙醇(C₂H₅OH, 99.70%)、六水合硝酸锌(Zn(NO₃)₂·6H₂O, 99.00%)、硝酸钠(NaNO₃, 99.00%)均购买于国药集团化学试剂有限公司。二甲亚砜(DMSO, 99.00%)、对苯醌(C₆H₄O₂, 99.00%)、乙酰丙酮氧钒(VO(acac)₂, 98.00%)、六水合三氯化铁(FeCl₃·6H₂O, 99.00%)均购自上海阿拉丁试剂有限公司。所有化学品不需要

进一步纯化,所有反应均使用去离子水。

1.2 BiVO₄和BiVO₄/ZFO光阳极的制备

多孔BiVO₄光阳极是以FTO导电玻璃为基底通过电沉积方法制备的^[25]。将制备的BiVO₄光阳极置于盛有一定浓度的Zn(NO₃)₂、NaNO₃、FeCl₃溶液的聚四氟乙烯内衬中,密封并在100 °C烘箱内反应6 h,待反应釜完全冷却后将其用去离子水冲洗多次。待电极完全干燥后用马弗炉在450 °C下退火2 h,得到BiVO₄/ZFO复合光阳极。文中所提及的BiVO₄/ZFO电极是在最佳浓度下制备得到的,对应Zn(NO₃)₂、NaNO₃、FeCl₃的浓度分别为6.25、1.25、6.25 mmol·L⁻¹。

1.3 物理及化学表征

通过场发射扫描电子显微镜(SEM, Hitachi SU8010)分析所制备光阳极的电极形貌,工作电压为1~3 kV。采用JEOL 2010FEF型场发射透射电子显微镜(TEM)进行分析,并进一步在200 kV下进行高倍透射电镜(HRTEM)分析。通过X射线衍射仪(XRD, Bruker D8 Advance)研究电极的晶体结构,使用Cu K α 射线,波长为0.154 18 nm,管电压30 kV,管电流15 mA,测试范围为5°~80°,扫描速度为5 (°)·min⁻¹。通过X射线能谱分析仪(EDS, IXRF SDD3360)表征元素分布,工作电压为15 kV。通过X射线光电子能谱(XPS, VG ESCALAB250, Al K α 射线,电压和电流分别为12.5 kV和16 mA)获得各电极的化学状态。紫外可见(UV-Vis)光吸收光谱由Lambda 650进行测试,测试范围为345~700 nm。稳态荧光光谱(PL光谱)由爱丁堡FLS 980稳态/瞬态荧光光谱仪进行测试,测试范围为350~800 nm,激发波长为365 nm。

光电催化水分解性能在电化学工作站(普林斯顿,VersaSTAT 3)上测量,将制备的样品电极(1 cm×1 cm)、Pt柱和Ag/AgCl电极分别作为工作电极、对电极和参比电极,电解液为0.5 mol·L⁻¹ Na₂SO₄(含或不含1 mol·L⁻¹ Na₂SO₃)。使用FX 300光纤光源(带有AM 1.5G滤光片)从FTO的背面垂直照射,线性扫描伏安(LSV)图在-0.5~1.0 V(vs Ag/AgCl)的电位下以10 mV·s⁻¹的扫速测量。在施加电压为1.23 V(vs RHE)、斩波为5 s的条件下,测得各电极的瞬态光电流。电化学阻抗谱(EIS)是在光照条件下进行测试的,测试条件:频率范围为0.1 Hz~10⁵ Hz,振幅为10 mV,施加电压为开路电压。使用配备单色仪的氘灯在1.23 V(vs RHE)下测得入射光电流转换效率(IPCE, incident photo-to-current conversion efficiency)。

在黑暗条件下以1 kHz的频率、10 mV的振幅记录了光电极的Mott-Schottky(M-S)曲线,施加的外加偏压范围为-0.5~1.0 V(vs Ag/AgCl)。相对Ag/AgCl电极与相对标准氢电极的电势转换使用公式1计算(25 °C):

$$V_{\text{RHE}} = E_{\text{Ag/AgCl}} + 0.059 \text{ pH} + 0.197 \quad (1)$$

用Na₂SO₃作为空穴清除剂,在含有1 mol·L⁻¹ Na₂SO₃的0.5 mol·L⁻¹ Na₂SO₄的电解质中测得LSV曲线,所得光电流密度记为J_{sulfite},在0.5 mol·L⁻¹ Na₂SO₄电解质中测得的光电流密度记为J_{water},由公式2即可得表面电荷分离效率(η_{surface}),BiVO₄的理论吸收光电流密度J_{abs}=7.50 mA·cm⁻²,由公式3即可得体电荷分离效率(η_{bulk})。

$$\eta_{\text{surface}} = J_{\text{water}} / J_{\text{sulfite}} \quad (2)$$

$$\eta_{\text{bulk}} = J_{\text{sulfite}} / J_{\text{abs}} \quad (3)$$

ABPE(applied bias photon-to-current efficiency,光-氢转化效率)是在借助外部偏压以及入射光时,水分解产生光电流的效率,根据公式4得到。IPCE是在一定波长的光子照射下产生的光电子的比例,根据公式5得到。

$$\text{ABPE} = J \times (1.23 - V_b) / P \times 100\% \quad (4)$$

$$\text{IPCE} = 1240 \times J / (\lambda / I_{\text{light}}) \times 100\% \quad (5)$$

其中,J为光电流密度(mA·cm⁻²),V_b为外加偏压,P为入射光的功率密度(100 mW·cm⁻²,AM 1.5G),λ为入射光波长(nm),I_{light}为入射光强度(mW·cm⁻²)。

对M-S曲线的直线段进行拟合,计算可得半导体的平带电势(E_{fb})和供体浓度(N_d),具体计算根据公

式6得到。

$$1/C^2 = 2/[e\varepsilon\varepsilon_0 N_d (V - V_{\text{fb}} - KT/e)] \quad (6)$$

其中,C为空间电荷电容(F·cm⁻²);e是元电荷(1.60×10⁻¹⁹ C);K是玻兹曼常数(1.38×10⁻²³ J·K⁻¹);T是绝对温度(K); $\varepsilon \approx 68$,表示BiVO₄的介电常数; ε_0 是真空介电常数(8.85×10⁻¹⁴ F·cm⁻¹);V是光阳极上的外加偏压。

2 结果与讨论

图1a为白色BiVO₄的SEM图,可以看出BiVO₄呈光滑蠕虫状的形貌。在负载了ZFO纳米颗粒后,表面明显变得粗糙(图1b),粗糙的表面可以促进催化剂与电解质更好地接触。与纯BiVO₄的截面图(图1c)相比,负载ZFO后的光阳极薄膜厚度没有发生明显变化(图1d),说明ZFO只附着在BiVO₄的表面上且量较少。在EDS图(图S1, Supporting information)中可以观察到各个元素的均匀分布,并且Zn、Fe的原子比接近1:2(表S1),基本符合该物质的原子比例。在图1e的BiVO₄的TEM图中可以观察到BiVO₄的表面有直径约为6 nm的颗粒附着,并且从HRTEM图(图1f)中可以观察到BiVO₄的(121)晶面以及ZFO的(222)晶面和(311)晶面,进一步证明ZFO的成功负载。

如图2a所示,BiVO₄/ZFO复合光阳极的XRD图中并没有检测到ZFO的峰,原因可能是ZFO的量太少而超出了检测范围。于是,采用相同的方法将其负载在FTO导电玻璃上,与FTO的XRD相比,可以观察到对应于ZFO的(311)和(222)晶面的衍射峰(图

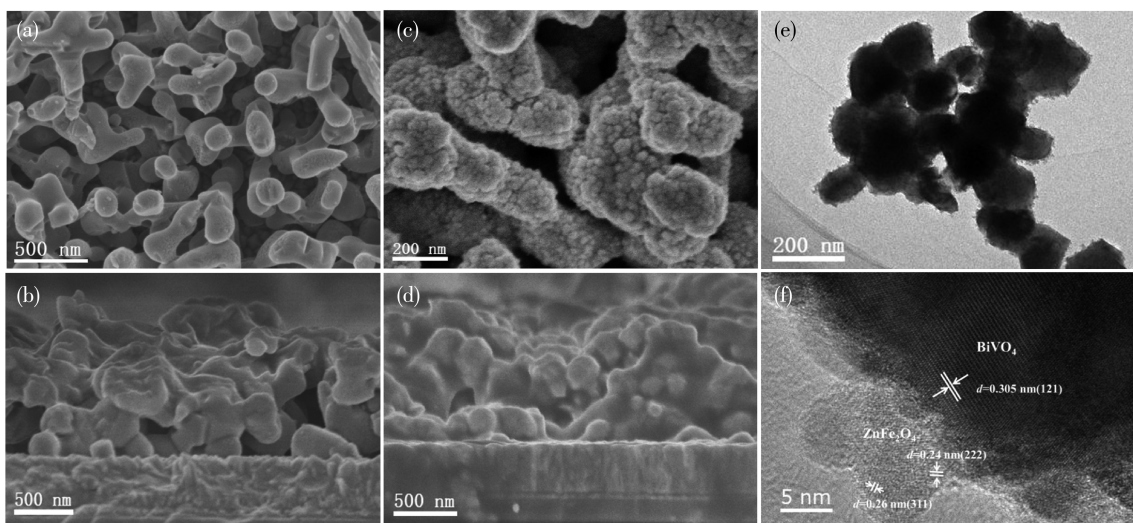


图1 BiVO₄的(a)俯视和(b)截面SEM图;BiVO₄/ZFO的(c)俯视和(d)截面SEM图;BiVO₄/ZFO的(e)TEM和(f)HRTEM图

Fig.1 (a) Top-view and (b) cross-section-view SEM images of bare BiVO₄; (c) Top-view and (d) cross-section-view SEM images of BiVO₄/ZFO; (e) TEM and (f) HRTEM images of BiVO₄/ZFO

2b),此结果与HRTEM图中的晶格条纹相对应。从UV-Vis吸收光谱(图2c)中可以看出,负载ZFO后,UV-Vis吸收光谱发生了轻微的红移。由图2d的Tauc曲线可得到负载前后的带隙,负载后带隙由2.45 eV减少到2.40 eV,说明ZFO的负载使BiVO₄的带隙变窄,带隙变化较小可能是由于负载量过少^[21]。在图S2中可以得到ZFO的带隙为2.02 eV,这与文献中报道的值相似^[26]。

使用XPS进一步分析了样品的化学组成及其元素价态,如图3a所示,Zn、Fe元素的存在证明了ZFO在BiVO₄上的负载。如图3b所示,Bi4f XPS谱图中158.72 eV(Bi4f_{7/2})和164.04 eV(Bi4f_{5/2})的峰说明BiVO₄及BiVO₄/ZFO电极中Bi元素均以+3价的形式存在。图3c的V2p XPS谱图中516.20 eV(V2p_{3/2})和523.86 eV(V2p_{1/2})的峰对应于V⁵⁺^[27]。在图3d的O1s XPS谱图中,3个峰的结合能为529.29、530.44、531.34 eV,分别对应晶格氧、氧空位、吸附水中的氧^[28-29],负载ZFO后氧空位的含量有少量增加,有利于光电催化性能的提升。图3e中的Zn2p XPS谱图中,1 021.00、1 044.46 eV处的峰对应Zn2p_{3/2}和Zn2p_{1/2}轨道,说明Zn元素以+2价的形式存在。图3f中Fe2p XPS谱图中710.70 eV(Fe2p_{3/2})和724.44 eV

(Fe2p_{1/2})对应为Fe³⁺的峰,其余2个为伴峰,与文献中ZFO中的元素价态保持一致^[29-32]。根据图S3可知,在进行了1 000 s的稳定性测试后,Zn、Fe仍保持原有的价态,分属于晶格氧、氧空位和吸附水中的氧与测试前的相对强度基本保持一致,说明在水氧化过程中ZFO稳定存在,与BiVO₄以异质结的形式提升了水氧化性能。

如图4a所示,在黑暗、斩光以及模拟太阳光照射的条件下分别得到BiVO₄、BiVO₄/ZFO的LSV曲线。在黑暗条件下,BiVO₄和BiVO₄/ZFO均没有光电流的产生,说明光电流是由于光激发产生的光生载流子发生反应而产生的。在模拟太阳光照射下,裸BiVO₄的电流密度仅有1.20 mA·cm⁻²,优化ZFO负载后的BiVO₄光阳极的光电流密度明显提升至3.33 mA·cm⁻²,并且在斩光条件下的LSV曲线与光照条件下的LSV曲线基本保持一致,说明其具有良好的光电响应能力。图4b的光电流瞬态曲线中,在光照的瞬间,BiVO₄表面的光生电荷在光激发后出现明显的复合,导致瞬态尖峰的出现,而负载ZFO后光电流尖峰明显减弱,表明BiVO₄与ZFO形成的异质结可以促进光生电子-空穴对的高效分离。通过拟合Butler曲线的直线段可获得所有光电极的起始电

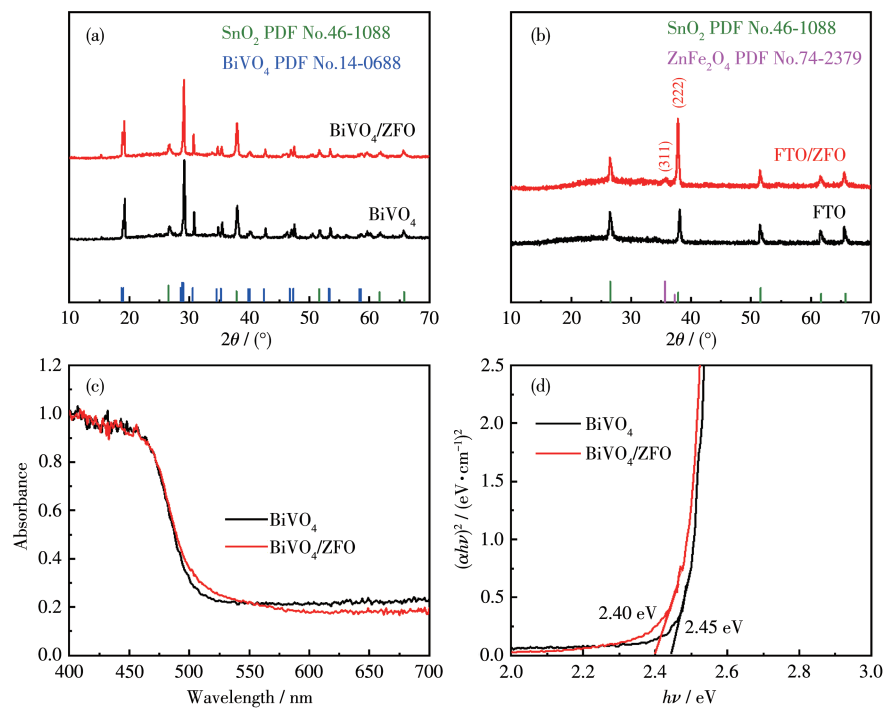


图2 (a) BiVO₄和BiVO₄/ZFO的XRD图;(b) FTO和FTO/ZFO的XRD图;(c) UV-Vis吸收光谱图和(d) Tauc曲线

Fig.2 (a) XRD patterns for BiVO₄ and BiVO₄/ZFO; (b) XRD patterns for FTO and FTO/ZFO; (c) UV-Vis absorption spectra and (d) Tauc curves of BiVO₄ and BiVO₄/ZFO

位,具体计算方法见Supporting information,BiVO₄的起始电位下降约60 mV,表明复合光阳极的水氧化反应过电位降低,也意味着低偏压区内电荷分离能力增强(图4c)。

为了探索光生载流子的分离对光电催化性能的影响,我们将Na₂SO₃用作空穴捕捉剂,测试了在空穴捕捉剂存在与否情况下的LSV曲线(图S5),由此计算得到了 η_{bulk} 和 $\eta_{surface}$ 。如图5a所示,BiVO₄/

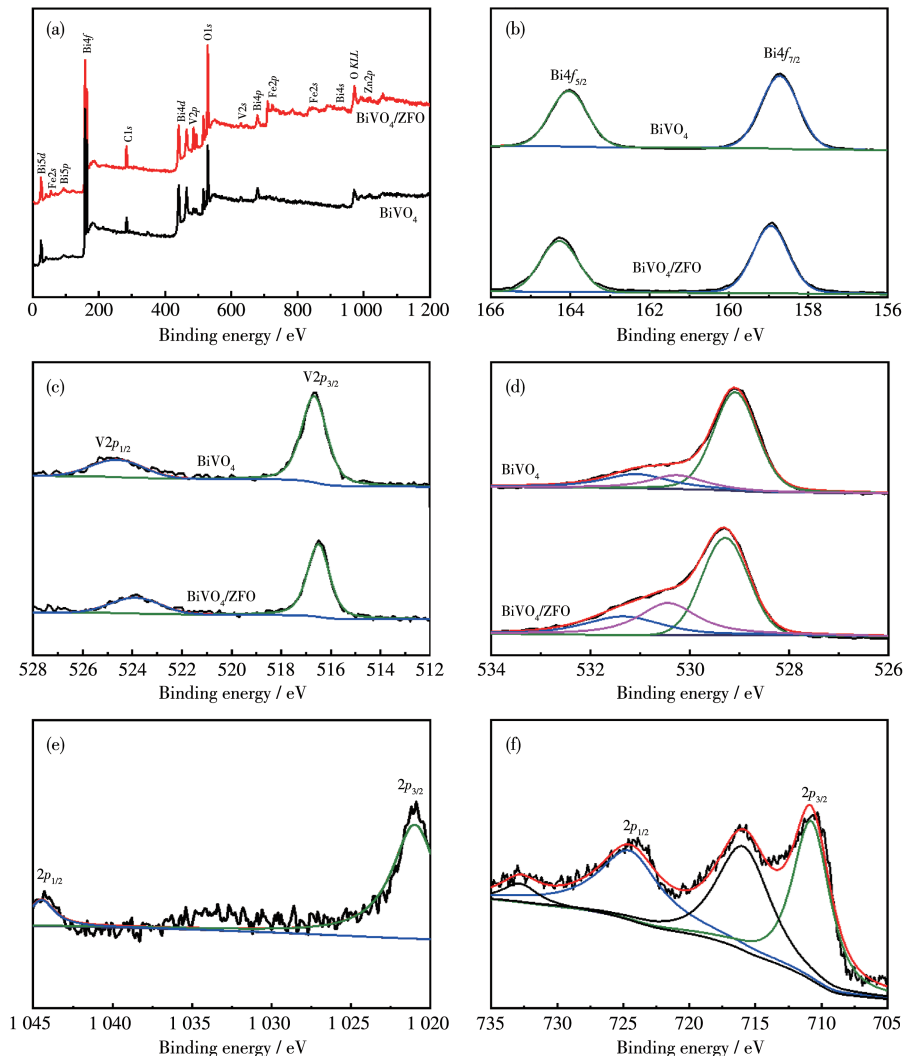


图3 (a) BiVO₄/ZFO的XPS谱图;(b) Bi4f、(c) V2p、(d) O1s、(e) Zn2p 和(f) Fe2p的XPS谱图

Fig.3 (a) XPS spectra of BiVO₄/ZFO; XPS spectra of (b) Bi4f, (c) V2p, (d) O1s, (e) Zn2p, and (f) Fe2p

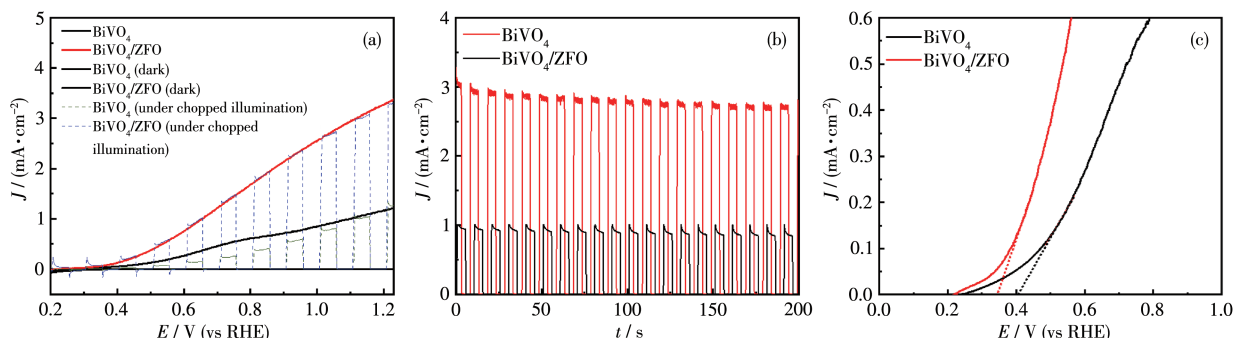


图4 BiVO₄和BiVO₄/ZFO的(a) LSV曲线、(b) 光电流瞬态曲线和(c) Butler曲线

Fig.4 (a) LSV curves, (b) photocurrent transient curves, and (c) Butler plots of BiVO₄ and BiVO₄/ZFO

ZFO复合光阳极的 η_{bulk} 在1.23 V(vs RHE)处可达到58.84%，较裸BiVO₄(51.51%)有较明显的提升(尤其是在低偏电压条件下)，这表明更多的光生电荷达到了电极/电解质界面处而非在基体内发生复合。图5b中，BiVO₄/ZFO复合光阳极的 η_{surface} 在1.23 V(vs RHE)处达到了75.78%，远高于BiVO₄光阳极(31.09%)，说明光激发产生的光生空穴-电子对可以有效地用于水的氧化还原反应。图5c中的ABPE值由BiVO₄的0.27%提升至BiVO₄/ZFO复合光阳极的0.69%(0.8 V(vs RHE))，进一步证明BiVO₄/ZFO复合光阳极光电催化性能的提升。图5d中的IPCE曲线与UV-Vis吸收光谱的光吸收范围保持一致，BiVO₄/ZFO复合光阳极的IPCE值由修饰前的21.80%(440 nm)提升至43.46%(420 nm)，表明了IPCE的明显提升。通过以上表征证明了光生空穴-电子对的有效分离是BiVO₄/ZFO复合光阳极IPCE性能提升的重要原因。

为了探究光电流提升的内在机理和载流子浓度变化的规律，测试得到了EIS谱图、PL光谱图和M-S曲线。由BiVO₄和BiVO₄/ZFO的EIS分析(图6a和表S2，图中CPE为常相位角元件)可知，BiVO₄和BiVO₄/ZFO的溶液电阻(R_s)分别为88.04和87.69 Ω，

没有明显的变化。BiVO₄/ZFO的 R_{ct} 为143.00 Ω，与BiVO₄(386.90 Ω)相比发生了明显的降低，说明异质结的构建可以有效降低光阳极/电解质界面处的电荷转移阻力。由PL光谱图可知(图6b)，BiVO₄/ZFO表现出更低的光致荧光强度，说明载流子能更有效地参与光电催化反应，载流子复合被明显抑制。负载前后M-S曲线的斜率均为正，说明负载前后并没有改变BiVO₄n型半导体的特性(图6c)，且BiVO₄的平带电势为0.83 V(vs RHE)，由此可以得到BiVO₄的价带和导带能量分别是0.83和3.28 eV^[33]。由图6d观察到ZFO的斜率为正，证明其n型半导体特性，平带电势为0.56 V(vs RHE)，带隙为2.02 eV，因此得到它的价带和导带能量分别为0.56和2.58 eV。图6c中负载ZFO后，平带电势由0.83 V(vs RHE)降低至0.60 V(vs RHE)，这与起始电位的负移是相对应的，同时载流子浓度明显提升^[34]，由 $2.26 \times 10^{20} \text{ cm}^{-3}$ 提升至 $4.00 \times 10^{20} \text{ cm}^{-3}$ 。这些现象都可归因于BiVO₄与ZFO形成了n-n同型异质结，使得光生空穴-电子有效分离，从而电荷转移速率加快，大幅提升复合光阳极的光电流密度。如图7所示，在进行了10 000 s的稳定性测试后，BiVO₄/ZFO的电流密度为2.45 mA·cm⁻²，保留原有性能的73.57%，而裸

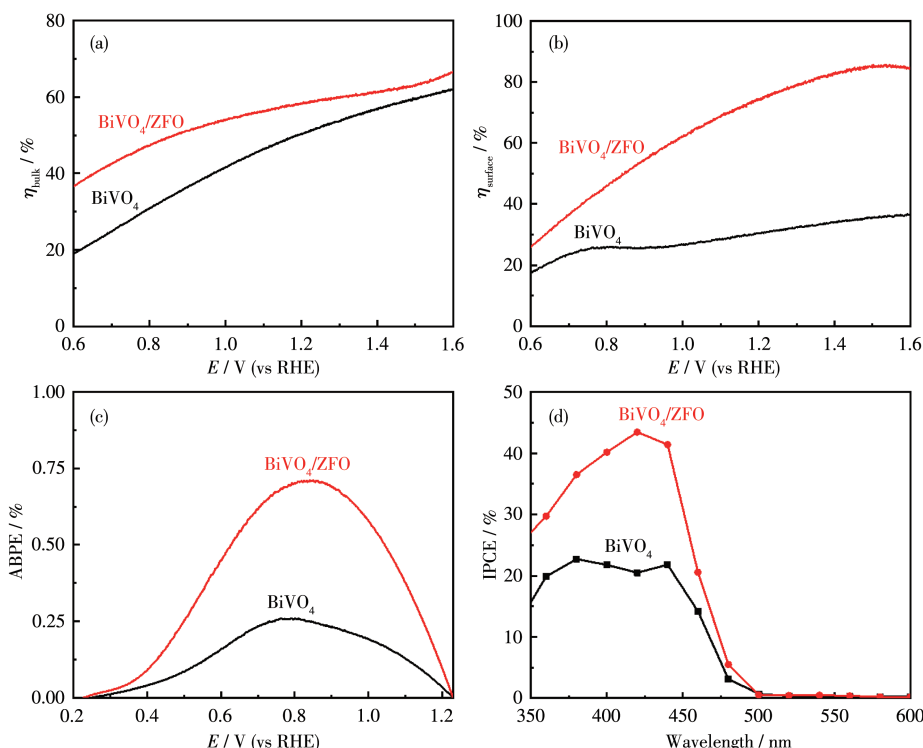
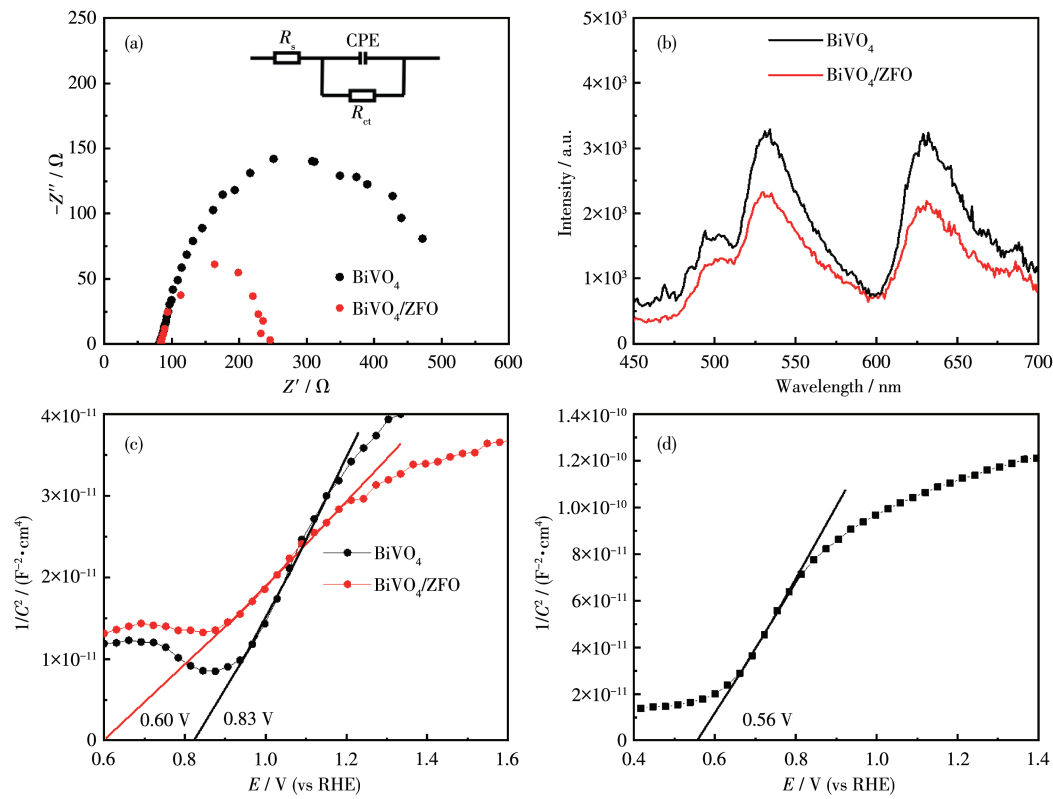


图5 BiVO₄和BiVO₄/ZFO的(a) η_{bulk} 和(b) η_{surface} ; BiVO₄和BiVO₄/ZFO的(c) ABPE 和(d) IPCE 曲线

Fig.5 (a) η_{bulk} and (b) η_{surface} for BiVO₄ and BiVO₄/ZFO; (c) ABPE and (d) IPCE curves of BiVO₄ and BiVO₄/ZFO



Inset: the corresponding equivalent circuit

图6 BiVO₄和BiVO₄/ZFO的(a) EIS谱图和(b) PL光谱图; (c) BiVO₄、BiVO₄/ZFO 和(d) ZFO 的M-S图
Fig.6 (a) EIS spectra and (b) PL spectra of BiVO₄ and BiVO₄/ZFO; M-S plots of (c) BiVO₄, BiVO₄/ZFO, and (d) ZFO

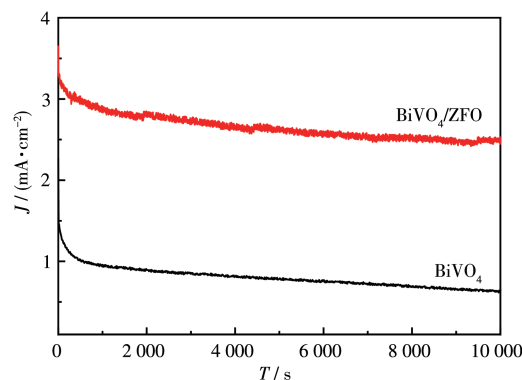


图7 BiVO₄和BiVO₄/ZFO 光阳极的稳定性测试
Fig.7 Stability tests of BiVO₄ and BiVO₄/ZFO photoanodes

BiVO₄的电流密度只有0.56 mA·cm⁻²,只保留原有性能的46.67%,因此复合光阳极具有更好的光电催化稳定性。

基于上述分析,BiVO₄和ZFO可以形成一种带隙错开的n-n同型异质结,如图8所示。当太阳光照射到光阳极的背面时,半导体内由光激发产生光生空穴-电子对,光生空穴则从BiVO₄的价带上转移至

ZFO的价带上,与电解质中的水发生氧化反应产生O₂,而光生电子由ZFO的导带迁移到BiVO₄的导带上,并通过外部电路到达对电极上发生还原反应产

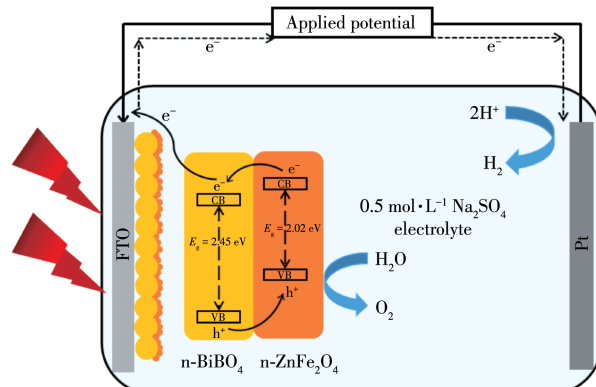


图8 在1.23 V(vs RHE)可见光照射下BiVO₄/ZFO电极在0.5 mol·L⁻¹ Na₂SO₄电解液中可能的光电催化水分解机理
Fig.8 Possible photoelectrochemical water splitting mechanism of BiVO₄/ZFO electrode at 1.23 V (vs RHE) in 0.5 mol·L⁻¹ Na₂SO₄ solution under visible light irradiation

生H₂。通过这个过程,光生电子-空穴对就可以有效地分离,同时降低电荷转移阻力,从而提高光电流密度。

3 结 论

采用简单的水热-煅烧的方法制备了BiVO₄/ZFO复合光阳极,其在1.23 V(vs RHE)下达到了3.33 mA·cm⁻²的光电流密度,表现出较好的水氧化能力。通过光电催化性能表征,证明了修饰后的光阳极中光生载流子的复合被明显抑制,电荷转移阻力明显降低,载流子浓度提升,最终提高了BiVO₄/ZFO复合光阳极的光电催化性能。本工作为构筑带隙错开的同型异质结复合光阳极来抑制BiVO₄光阳极材料的光生载流子的复合,为其光电催化水分解性能的提升提供了一种简单可行的方法。

Supporting information is available at <http://www.wjhxxb.cn>

参考文献:

- [1]Lee M G, Yang J W, Park H, Moon C W, Andoshe D M, Park J, Moon C K, Lee T H, Choi K S, Cheon W S, Kim J J, Jang H W. Crystal facet engineering of TiO₂ nanostructures for enhancing photoelectrochemical water splitting with BiVO₄ nanodots. *Nano-Micro Lett.*, **2022**, *14*(1): 48
- [2]Wang P P, Fu P, Ma J P, Gao Y Y, Li Z, Wang H, Fan F T, Shi J Y, Li C. Ultrathin cobalt oxide interlayer facilitated hole storage for sustained water oxidation over composited tantalum nitride photoanodes. *ACS Catal.*, **2021**, *11*(20):12736-12744
- [3]Wang Y X, Chen D M, Zhang J N, Balogun M S, Wang P S, Tong Y X, Huang Y C. Charge relays via dual carbon-actions on nanostructured BiVO₄ for high performance photoelectrochemical water splitting. *Adv. Funct. Mater.*, **2022**, *32*(13):2112738
- [4]Yoon K Y, Park J, Jung M, Ji S G, Lee H, Seo J H, Kwak M J, Seok I S, Lee J H, Jang J H. NiFeO_x decorated Ge-hematite/perovskite for an efficient water splitting system. *Nat. Commun.*, **2021**, *12*(1):4309
- [5]Zhu T, Chong M N, Chan E S. Nanostructured tungsten trioxide thin films synthesized for photoelectrocatalytic water oxidation: A review. *ChemSusChem*, **2014**, *7*(11):2974-2997
- [6]Liu G Q, Li F, Zhu Y, Li J Y, Sun L C. Cobalt doped BiVO₄ with rich oxygen vacancies for efficient photoelectrochemical water oxidation. *RSC Adv.*, **2020**, *10*(48):28523-28526
- [7]Yalavarthi R, Zbořil R, Schmuki P, Naldoni A, Kment Š. Elucidating the role of surface states of BiVO₄ with Mo doping and a CoOOH co-catalyst for photoelectrochemical water splitting. *J. Power Sources*, **2021**, *483*:229080
- [8]Pan J B, Wang B H, Wang J B, Ding H Z, Zhou W, Liu X, Zhang J R, Shen S, Guo J K, Chen L, Au C T, Jiang L L, Yin S F. Activity and stability boosting of an oxygen-vacancy-rich BiVO₄ photoanode by NiFe-MOFs thin layer for water oxidation. *Angew. Chem. Int. Ed.*, **2021**, *60*(3):1433-1440
- [9]Zhang H P, Li H L, Wang Z Y, Zheng Z, Wang P, Liu Y Y, Zhang X Y, Qin X Y, Dai Y, Huang B B. Fabrication of BiVO₄ photoanode consisted of mesoporous nanoparticles with improved bulk charge separation efficiency. *Appl. Catal. B-Environ.*, **2018**, *238*:586-591
- [10]Kim T W, Ping Y, Galli G A, Choi K S. Simultaneous enhancements in photon absorption and charge transport of bismuth vanadate photoanodes for solar water splitting. *Nat. Commun.*, **2015**, *6*:8769
- [11]Wang X, Ye K H, Yu X, Zhu J, Zhu Y, Zhang Y. Polyamine as a new type of hole-transporting material to significantly increase the solar water splitting performance of BiVO₄ photoanodes. *J. Power Sources*, **2018**, *391*:34-40
- [12]Xu H M, Fan W Q, Zhao Y, Chen B Y, Gao Y, Chen X, Xu D B, Shi W D. Amorphous iron(III)-borate decorated electrochemically treated-BiVO₄ photoanode for efficient photoelectrochemical water splitting. *Chem. Eng. J.*, **2021**, *411*:128480
- [13]Zhang M Y, Antony R P, Chiam S Y, Abdi F F, Wong L H. Understanding the roles of NiO_x in enhancing the photoelectrochemical performance of BiVO₄ photoanodes for solar water splitting. *ChemSusChem*, **2019**, *12*(9):2022-2028
- [14]Tang F M, Cheng W R, Su H, Zhao X, Liu Q H. Smoothing surface trapping states in 3D coral-like CoOOH-wrapped-BiVO₄ for efficient photoelectrochemical water oxidation. *ACS Appl. Mater. Interfaces*, **2018**, *10*(7):6228-6234
- [15]Cheng B Y, Yang J S, Cho H W, Wu J J. Fabrication of an efficient BiVO₄ - TiO₂ heterojunction photoanode for photoelectrochemical water oxidation. *ACS Appl. Mater. Interfaces*, **2016**, *8*(31):20032-20039
- [16]Kim K, Moon J H. Three-dimensional bicontinuous BiVO₄/ZnO photoanodes for high solar water-splitting performance at low bias potential. *ACS Appl. Mater. Interfaces*, **2018**, *10*(40):34238-34244
- [17]Li J L, Yuan H, Li J X, Zhang W J, Liu Y Q, Liu N, Cao H J, Jiao Z B. The significant role of the chemically bonded interfaces in BiVO₄/ZnO heterostructures for photoelectrochemical water splitting. *Appl. Catal. B-Environ.*, **2021**, *285*:119833
- [18]Rao P M, Cai L, Liu C, Cho I S, Lee C H, Weisse J M, Yang P, Zheng X. Simultaneously efficient light absorption and charge separation in WO₃/BiVO₄ core/shell nanowire photoanode for photoelectrochemical water oxidation. *Nano Lett.*, **2014**, *14*(2):1099-1105
- [19]Gao Y Q, Yang G Q, Dai Y J, Li X L, Gao J F, Li N, Qiu P, Ge L. Electrodeposited Co-substituted LaFeO₃ for enhancing the photoelectrochemical activity of BiVO₄. *ACS Appl. Mater. Interfaces*, **2020**, *12*(15):17364-17375
- [20]Xiong B, Wu Y T, Du J Y, Li J, Liu B Y, Ke G L, He H C, Zhou Y. Cu₃Mo₂O₉/BiVO₄ heterojunction films with integrated thermodynamic and kinetic advantages for solar water oxidation. *ACS Sustain. Chem. Eng.*, **2020**, *8*(37):14082-14090
- [21]Yue P F, She H D, Zhang L, Niu B, Lian R, Huang J W, Wang L, Wang Q Z. Super-hydrophilic CoAl-LDH on BiVO₄ for enhanced

- photoelectrochemical water oxidation activity. *Appl. Catal. B-Environ.*, **2021**,**286**:119875
- [22]Huang J W, Liu T T, Wang R F, Zhang M Y, Wang L, She H D, Wang Q Z. Facile loading of cobalt oxide on bismuth vanadate: proved construction of p-n junction for efficient photoelectrochemical water oxidation. *J. Colloid Interface Sci.*, **2020**,**570**:89-98
- [23]Marschall R. Semiconductor composites: strategies for enhancing charge carrier separation to improve photocatalytic activity. *Adv. Funct. Mater.*, **2014**,**24**(17):2421-2440
- [24]Wang Q Z, Niu T J, Wang L, Yan C X, Huang J W, He J J, She H D, Su B T, Bi Y P. FeF₂/BiVO₄ heterojunction photoelectrodes and evaluation of its photoelectrochemical performance for water splitting. *Chem. Eng. J.*, **2018**,**337**:506-514
- [25]Zhao F, Li N, Wu Y, Wen X J, Zhao Q, Liu G, Li J P. BiVO₄ photoanode decorated with cobalt-manganese layered double hydroxides for enhanced photoelectrochemical water oxidation. *Int. J. Hydrom. Energy*, **2020**,**45**(56):31902-31912
- [26]Kim J H, Jang Y J, Choi S H, Lee B J, Kim J H, Park Y B, Nam C M, Kim H G, Lee J S. A multitude of modifications strategy of ZnFe₂O₄ nanorod photoanodes for enhanced photoelectrochemical water splitting activity. *J. Mater. Chem. A*, **2018**,**6**(26):12693-12700
- [27]Bai H Y, Li X, Zhao Y, Fan W Q, Liu Y, Gao Y, Xu D B, Ding J R, Shi W D. Fabrication of BiVO₄-Ni/Co₃O₄ photoanode for enhanced photoelectrochemical water splitting. *Appl. Surf. Sci.*, **2021**, **538**:148150
- [28]Li S S, Su Y K. Improvement of the performance in Cr-doped ZnO memory devices via control of oxygen defects. *RSC Adv.*, **2019**,**9**(6):2941-2947
- [29]Özacar M, Poyraz A S, Genuino H C, Kuo C H, Meng Y T, Suib S L. Influence of silver on the catalytic properties of the cryptomelane and Ag-hollandite types manganese oxides OMS-2 in the low-temperature CO oxidation. *Appl. Catal. A-Gen.*, **2013**,**462-463**:64-74
- [30]Dom R, Subasri R, Hebalkar N Y, Chary A S, Borse P H. Synthesis of a hydrogen producing nanocrystalline ZnFe₂O₄ visible light photocatalyst using a rapid microwave irradiation method. *RSC Adv.*, **2012**, **2**(33):12782
- [31]Song H, Zhu L P, Li Y G, Lou Z R, Xiao M, Ye Z Z. Preparation of ZnFe₂O₄ nanostructures and highly efficient visible-light-driven hydrogen generation with the assistance of nanoheterostructures. *J. Mater. Chem. A*, **2015**,**3**(16):8353-8360
- [32]Lian L, Hou L R, Zhou L, Wang L S, Yuan C Z. Rapid low-temperature synthesis of mesoporous nanophase ZnFe₂O₄ with enhanced lithium storage properties for Li-ion batteries. *RSC Adv.*, **2014**,**4**(90):49212-49218
- [33]Xu Y, Schoonen M A A. The absolute energy positions of conduction and valence bands of selected semiconducting minerals. *Am. Mineral.*, **2000**,**85**(3/4):543-556
- [34]Wang S C, Chen P, Yun J H, Hu Y X, Wang L Z. An electrochemically treated BiVO₄ photoanode for efficient photoelectrochemical water splitting. *Angew. Chem. Int. Ed.*, **2017**,**56**(29):8500-8504